

# ساختار و خواص مغناطیسی آلیاژهای CoFeSiB انجماد سریع یافته

محمد رضا رضایی، علی جزایری قره‌باغ، جواد ملا و مهدی پورعبدلی

چکیده: در مقاله حاضر تاثیر افزودن عناصر شبه‌فلزی Si (4-27 at%) و B (5-22 at%) بر ساختار و خواص مغناطیسی آلیاژهای پایه کیالت حاوی 5at% آهن که به روش ذوب‌رسی انجماد سریع یافته‌اند مورد مطالعه و بررسی قرار گرفته است. نتایج آزمایشات پراش پرتو X نشان داد که افزودن عناصر Si و B به‌نهایی جهت آمورف شدن کامل ساختار نوارهای ذوب‌رسی شده آلیاژهای غیر یوتکتیکی CoFeSi و CoFeB کافی نبوده و در آلیاژهای چهارتایی CoFeSiB نیز برای حصول ساختار آمورف مجموع این دو عنصر و نسبت B به Si باید بیشتر از یک مقدار حداقل باشد. همچنین بررسی اثر این عناصر بر خواص مغناطیسی (H<sub>c</sub>, B<sub>r</sub> و B<sub>r</sub>/B<sub>r</sub>) آنها به کمک دستگاه پیمانندگار نشان داد که هر چه مقدار مجموع عناصر شبه‌فلزی Si و B در آلیاژهای CoFeSiB بالاتر باشد، نیروی وادارنده مغناطیسی H<sub>c</sub> و مغناطش (القای) اشباع (Ms) نوارهای آمورف (بی‌شکل) تولید شده کاهش پیدا می‌کنند. همچنین در مجموع Si و B ثابت، با افزایش نسبت B/Si القای اشباع و القای پیماند افزایش پیدا می‌کند.

واژه‌های کلیدی: CoFeSiB، انجماد سریع، ذوب‌رسی، آمورف، خواص مغناطیسی.

ضریب تغییر بعد مغناطیسی  $\lambda$  یکی از مهمترین پارامترهای تعیین کننده خواص مغناطیسی نرم مناسب از جمله وادارنده‌گی پایین و نفوذپذیری بالا می‌باشد و همواره تلاش شده است تا جهت دست‌یابی به خواص نرم مغناطیسی عالی، آلیاژ دارای  $\lambda = 0$  باشد [۴]. ترکیب شیمیایی آلیاژ یکی از مهمترین عوامل تعیین کننده  $\lambda$  بوده و از آنجا که کیالت دارای تغییر بعد مغناطیسی منفی و آهن دارای ضریب تغییر بعد مغناطیسی بزرگتر ولی با علامت مثبت است، افزوند مقداری آهن می‌تواند تغییر بعد مغناطیسی را به صفر برساند [۲]. در آلیاژهای CoFeSiB دو عامل در تعیین ترکیب شیمیایی آلیاژ  $\lambda = 0$  تأثیرگذار می‌باشد؛ یکی نسبت مقدار مجموع عناصر شبه‌فلزی به عناصر فلزی و دیگری نسبت آهن به کیالت [۴]. آلیاژهای CoFeSiB با تغییر بعد مغناطیسی نزدیک صفر معمولاً بین ۱ تا ۱۰ درصد اتمی آهن دارند و هر چه مقدار عناصر شبه‌فلزی بیشتر باشد، مقدار آهن مورد نیاز آن‌ها کمتر می‌شود [۶].

حضور Si و B در ترکیب آلیاژ عامل اساسی برای دست‌یابی به ساختار آمورف پس از انجماد سریع می‌باشد. عنصر B جزء اصلی است که خاصیت آمورف (بی‌شکل) شدن را به آلیاژ می‌بخشد و Si نیز تغییر حالت به ساختار آمورف را راحت‌تر کرده و پایداری حرارتی را بهبود می‌دهد [۷ و ۸]. از آنجا که اختلاف شعاع اتمی B با آهن و کیالت خیلی بیشتر از اختلاف شعاع اتمی Si با این

## ۱. مقدمه

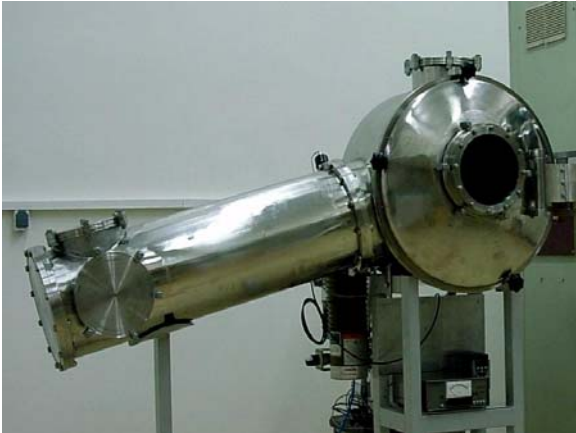
آلیاژهای آمورف (بی‌شکل) پایه کیالت و آهن دارای ویژگی‌های نرم مغناطیسی منحصر به فرد و بسیار متفاوت با حالت بلورین خود هستند که این موضوع به دلیل آرایش اتمی ویژه آنهاست. این آلیاژها فاقد ناپیوستگی‌های ریزساختاری نظیر مرز دانه، رسوبات و مرز بین فازی بوده و مقاومت الکتریکی و حد کشسانی بالایی دارند و همچنین مقاومت در برابر خوردگی آنها بهتر از آلیاژهای بلوری مشابه می‌باشد [۱ و ۲]. به دلیل عدم وجود ناهمسانگردی مغناطیسی- بلوری و عوامل قفل کننده دیواره حوزه‌های مغناطیسی در آلیاژهای مذکور، نیروی وادارنده مغناطیسی بسیار پایین و نفوذپذیری بالا قابل دست‌یابی است [۳].

تاریخ وصول: ۸۶/۵/۲۰

تاریخ تصویب: ۸۷/۲/۲۸

محمد رضا رضایی، کارشناس ارشد- پژوهشکده توسعه تکنولوژی، جهاد دانشگاهی صنعتی شریف، Rezayi\_mr@metaleng.iust.ac.ir  
دکتر علی جزایری قره‌باغ، استادیار- پژوهشکده توسعه تکنولوژی، جهاد دانشگاهی صنعتی شریف، Ali\_ajg@yahoo.co.uk  
جواد ملا، دانشجوی دکتری، پژوهشکده توسعه تکنولوژی، جهاد دانشگاهی صنعتی شریف.  
مهدي پورعبدلي، کارشناس ارشد، پژوهشکده توسعه تکنولوژي، جهاد دانشگاهی صنعتي شريف.

برای تهیه نوارهای سریع منجمد شده، از فرایند ذوب‌رسی با دیسک مبرد<sup>۲</sup> CBMS استفاده شد. پارامترهای فرایند ذوب‌رسی ثابت و به نحوی انتخاب گردید که نوارهای حاصل دارای ضخامت کم ( $20\text{--}30\mu\text{m}$ ) و لذا سرعت انجامد بالا باشند و در نتیجه امکان تشکیل ساختار آمورف در آنها بیشتر شود. همچنین عرض نوارهای تولیدی بیش از  $1\text{ mm}$  باشد تا امکان تهیه حلقه‌های مناسب برای اندازه‌گیری خواص مغناطیسی فراهم شود. در جدول ۲ پارامترهای فرایند ذوب‌رسی ارائه شده است.



شکل ۱. دستگاه ذوب‌رسی تحت گاز محافظه

جدول ۲. پارامترهای فرایند ذوب‌رسی

فرار	زاویه نازل	فاصله نازل	سرعت خطی	قطر سوراخ
تزریق با خط مذاب (°)	مذاب (bar)	دیسک	با دیسک (m/s)	نازل ( $\mu\text{m}$ )
۱۵	.۰/۳	۳۵	۲/۵	۸۰

در فرایند ذوب‌رسی تکه کوچکی از شمش آلیاژی (حدود ۱۰ گرم) درون نازلی از جنس شیشه کوارتز به روش القایی ذوب شده و با اعمال فشار گاز آرگن، مذاب از روزنه ریز کف نازل خارج شده و بر روی سطح دیسک مبرد می‌ریزد. در اثر چرخش دیسک مسی نوار نازکی بر روی سطح دیسک تشکیل و انجامد سریع پیدا کرده و در اثر نیروی گریز از مرکز از دیسک جدا می‌شود. در شکل ۲ پیچه القایی و دیسک مسی دستگاه ذوب‌رسی مورد استفاده نشان داده شده است. شکل ۳ نیز نمونه‌ای از نوارهای تولید شده به روش ذوب‌رسی را نشان می‌دهد.

## ۲-۲. روش شناسایی فازهای ساختار میکروسکوپی

به منظور شناسایی فازهای موجود در شمش‌ها و نوارهای سریع منجمد شده و نیز تعیین آمورف بودن نوارهای ذوب‌رسی شده،

عناصر می‌باشد، بور نقش مهمتری در تشکیل ساختار آمورف دارد [۱۰۹].

عامل منفی و محدودکننده در افزودن عناصر Si و B به آلیاژ این است که عناصر مذکور سبب کاهش میزان عناصر فرومغناطیسی و لذا کاهش گشتاور مغناطیسی کل ماده می‌شوند. به همین دلیل مغناطیش اشباع این آلیاژها کمتر از آلیاژهای بلوری مشابه می‌باشد [۳].

در پژوهش حاضر، با افزودن مقادیر گوناگونی از سیلیسیم و بور به آلیاژهای پایه کبالت حاوی ۵ درصد اتمی آهن، تاثیر مقدار این عناصر بر ساختار و قابلیت آمورف شدن نوارهای ذوب‌رسی<sup>۱</sup> شده و همچنین اثر این عناصر بر خواص مغناطیسی آلیاژهای چهارتایی CoFeSiB مورد بررسی قرار گرفته است.

## ۲. روش تحقیق

۱-۲. تهیه شمش‌های آلیاژی و نوارهای ذوب‌رسی شده

عملیات ذوب و آلیاژسازی با استفاده از مواد اولیه با خلوص بالا شامل آهن (۹۹/۶٪)، کبالت (۹۹/۵٪)، سیلیسیم (۹۸/۵٪) و بور (۹۹/۵٪) انجام گرفت. در جدول ۱ ترکیب شیمیایی اسمی آلیاژهای پایه کبالت مورد بررسی ارایه شده است. عملیات آلیاژسازی در دستگاهی دو منظوره، که قابلیت ذوب القایی و همچنین عملیات ذوب‌رسی تحت گاز محافظه را دارد (شکل ۱)، در بوتیه‌ای از جنس نیترید بور انجام شد. پیش از عملیات آلیاژسازی و ذوب‌رسی هوای داخل محفظه تا فشار  $2 \times 10^{-5}\text{ mbar}$  تخلیه و با گاز آرگن با خلوص ۹۹/۹۹٪ پر شد.

جدول ۱. ترکیب شیمیایی اسمی آلیاژهای پایه کبالت

ترکیب شیمیایی (wt%)				آلیاژ
B	Si	Fe	Co	
۲/۰۰	-	۵/۱۸	۹۲/۸۲	Co <sub>85</sub> Fe <sub>5</sub> B <sub>10</sub>
۳/۳۸	-	۵/۴۷	۹۱/۱۵	Co <sub>79</sub> Fe <sub>5</sub> B <sub>16</sub>
۴/۹۴	-	۵/۷۹	۸۹/۲۷	Co <sub>73</sub> Fe <sub>5</sub> B <sub>22</sub>
-	۷/۷۸	۵/۱۶	۸۷/۰۶	Co <sub>80</sub> Fe <sub>5</sub> Si <sub>15</sub>
-	۱۱/۲۸	۵/۳۴	۸۳/۳۸	Co <sub>74</sub> Fe <sub>5</sub> Si <sub>21</sub>
-	۱۵/۰۳	۵/۵۴	۷۹/۴۳	Co <sub>68</sub> Fe <sub>5</sub> Si <sub>27</sub>
۱/۰۴	۸/۱۴	۵/۴۰	۸۵/۴۲	Co <sub>75</sub> Fe <sub>5</sub> Si <sub>15</sub> B <sub>5</sub>
۱/۹۵	۸/۴۶	۵/۶۰	۸۳/۹۹	Co <sub>71</sub> Fe <sub>5</sub> Si <sub>15</sub> B <sub>9</sub>
۲/۹۳	۸/۸۰	۵/۸۳	۸۲/۴۴	Co <sub>67</sub> Fe <sub>5</sub> Si <sub>15</sub> B <sub>13</sub>
۳/۴۷	۲/۲۵	۵/۶۰	۸۸/۶۷	Co <sub>75</sub> Fe <sub>5</sub> Si <sub>4</sub> B <sub>16</sub>
۲/۷۹	۳/۹۰	۵/۵۴	۸۷/۷۶	Co <sub>75</sub> Fe <sub>5</sub> Si <sub>7</sub> B <sub>13</sub>
۱/۹۱	۶/۰۵	۵/۴۷	۸۶/۵۷	Co <sub>75</sub> Fe <sub>5</sub> Si <sub>11</sub> B <sub>9</sub>
۲/۸۶	۶/۲۹	۵/۶۸	۸۵/۱۷	Co <sub>71</sub> Fe <sub>5</sub> Si <sub>11</sub> B <sub>13</sub>
۲/۴۳	۸/۶۲	۵/۷۲	۸۳/۲۲	Co <sub>69</sub> Fe <sub>5</sub> Si <sub>15</sub> B <sub>11</sub>

<sup>2</sup> Chill Block Melt Spinning

<sup>1</sup> Melt Spun

۲ متر می‌باشد. به دلیل این محدودیتها، تنها از ۹ آلیاژ نمونه‌های حلقه‌ای شکل تهیه و ویژگی‌های مغناطیسی آنها اندازه‌گیری شد. نحوه تهیه نمونه‌های حلقه‌ای شکل بدین صورت بود که پس از انتخاب بلندترین نوار یکپارچه تولید شده از هر آلیاژ، نوار به دقت به صورت لایه لایه روی سطح خارجی یک استوانه به قطر خارجی حدود ۲۰mm پیچیده شد به طوری که یک حلقه به دست آید (شکل ۴).



شکل ۴. نمونه‌ای از حلقه‌های تهیه شده برای اندازه‌گیری خواص مغناطیسی

### ۳. نتایج و بحث

۱-۳. مشخصات ابعادی و کیفیت ظاهری نوارهای ذوب ریسی شده

ضخامت و عرض نوارهای ذوب ریسی شده آلیاژهای مختلف به ترتیب در محدوده  $25\text{-}33\mu\text{m}$  و  $25\text{-}33\mu\text{m}$  قرار داشت و میانگین ضخامت و عرض نوارها نیز به ترتیب  $29\mu\text{m}$  و  $1/2\text{mm}$  بود.

کیفیت ظاهری و انعطاف‌پذیری نوارهای ذوب ریسی شده در جدول ۳ ارائه شده است. بررسی نوارهای سری آلیاژی CoFeSi نشان می‌دهد که امکان تولید نوار با کیفیت مناسب در این سیستم آلیاژی و در محدوده ترکیب مورد بررسی وجود ندارد. کیفیت نوارهای تولید شده از آلیاژهای CoFeB بهتر از آلیاژهای CoFeSi بود. انعطاف‌پذیری بهتر نوارهای تولید شده از این سری از آلیاژها حاکی از این است که بخش اعظمی از ساختار این نوارها آمورف شده است، زیرا این آلیاژها در حالت بلوری بسیار ترد هستند.

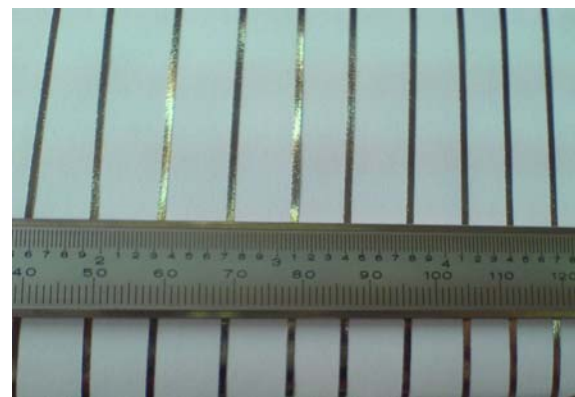
در کلیه آلیاژهای چهارتایی CoFeSiB به استثناء آلیاژ Co<sub>75</sub>Fe<sub>5</sub>Si<sub>15</sub>B<sub>5</sub> که درصد عناصر شبه‌فلزی پایدارکننده ساختار آمورف و به خصوص بور در آن کم بود نوارهایی با طول زیاد (یکپارچه) و با کیفیت ظاهری و انعطاف‌پذیری بسیار بهتر در مقایسه با نوارهای آلیاژهای سه‌تایی CoFeSi و CoFeB به دست آمد که بیانگر تشکیل ساختار آمورف در این آلیاژها می‌باشد.

از روش پراش پرتو X بهره گرفته شد. آزمایش‌های XRD با استفاده از دستگاه فیلیپس مدل X'pert و با اشعه CuKα با طول موج  $1/54186\text{\AA}$  انجام گرفت. سطح در تماس با دیسک کلیه نوارهای ذوب ریسی شده با استفاده از پراش پرتو X بررسی شد و فقط آلیاژ Co<sub>80</sub>Fe<sub>5</sub>Si<sub>15</sub> به دلیل اینکه کاملاً خرد شده بود و هیچ نواری از آن تهیه نشد، مورد آزمایش قرار نگرفت. روش آماده‌سازی نمونه‌ها بدينصورت بود که تکه‌هایی از نوارها در کنار هم بر روی جانمone‌های دستگاه XRD چسبانده شدند به طوری که سطح در تماس با دیسک نوارها رو به بالا و در معرض تابش پرتو X باشد.

شناسایی فازهای موجود در ریز ساختار به کمک نرم‌افزار PCPDFWIN و APD نصب شده بر روی کامپیوتر متصل به دستگاه XRD و اطلاعات موجود در کتاب Hanawalt انجام گرفت.



شکل ۲. پیچه الایافی و دیسک مسی دستگاه ذوب ریسی



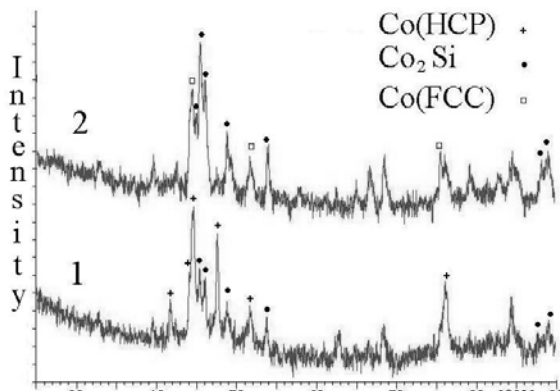
شکل ۳. نمونه‌ای از نوارهای تولیدی به روش ذوب ریسی

### ۲-۳. روش اندازه‌گیری خواص مغناطیسی

اندازه‌گیری خواص مغناطیسی نوارهای تولیدی با کمک دستگاه پسماندنگار انجام گرفت. از آنجا که نمونه‌های مورد آزمایش باید حلقه‌ای شکل بوده و عرض نوارها نیز حدود  $1\text{mm}$  یا بیشتر، ضخامت حلقه بالای  $1\text{mm}$  و قطر حلقه نیز باید اندازه‌ای باشد که بتوان حدود  $50$  دور سیم اطراف آن پیچید تا بتوان حلقه را به اشیاع مغناطیسی رساند، لذا نیاز به نوارهای یکپارچه با طول بالای

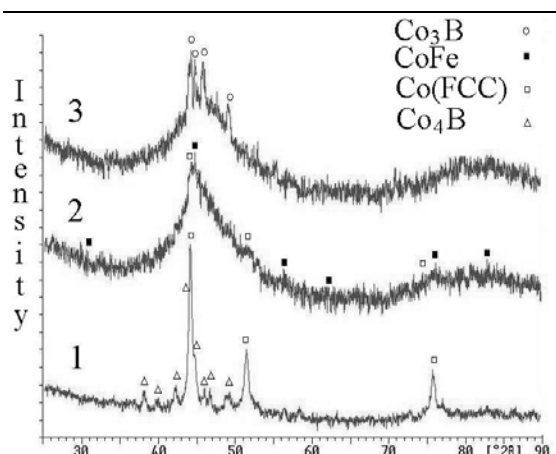
به نزدیکی زاویه ظهور پیکهای آن به کیالت با شماره کارت ۱۵-۰۸۰۶ به احتمال زیاد دارای شبکه FCC است. محلول جامد غنی از کیالت نوار  $\text{Co}_{68}\text{Fe}_5\text{Si}_{27}$  نیز شبکه بلوری FCC دارد. با توجه به اختلاف شبکه بلوری محلول جامد کیالت در دو حالت انجامداد معمولی و انجامداد سریع می‌توان نتیجه گرفت که شرایط غیر تعادلی انجامداد سریع مانع تحول آلتروپیک کیالت شده و شبکه بلوری FCC در دمای اتفاق پایدار شده است.

شکل ۶ الگوی پراش پرتو X نوار آلیاژهای سری CoFeB را نشان می‌دهد. ریزساختار آلیاژ  $\text{Co}_{85}\text{Fe}_5\text{B}_{10}$  پس از ذوب‌رسی بلوری بوده و فازهای محلول جامد غنی از کیالت Co<sub>4</sub>B (FCC) و Co در آن تشکیل شده است. از آنجا که فاز Co<sub>4</sub>B در دیاگرام تعادلی- $\text{B}$  [۱۲] وجود نداشته و در ریزساختار هیچ یک از شمشهای ریختگی CoFeSiB نیز دیده نشده است [۱۱] بنابراین به نظر می‌رسد فازی غیر تعادلی است که در شرایط انجامداد سریع به وجود آمده است.



شکل ۵. الگوی پراش پرتو X نوارهای سریع منجمد شده

آلیاژهای : ۱:  $\text{Co}_{74}\text{Fe}_5\text{Si}_{21}$ , ۲:  $\text{Co}_{68}\text{Fe}_5\text{Si}_{27}$



شکل ۶. الگوی پراش پرتو X نوارهای سریع منجمد شده

آلیاژهای : ۱:  $\text{Co}_{85}\text{Fe}_5\text{B}_{10}$ , ۲:  $\text{Co}_{79}\text{Fe}_5\text{B}_{16}$   
۳:  $\text{Co}_{73}\text{Fe}_5\text{B}_{22}$

جدول ۳. کیفیت ظاهیری نوارهای ذوب‌رسی شده

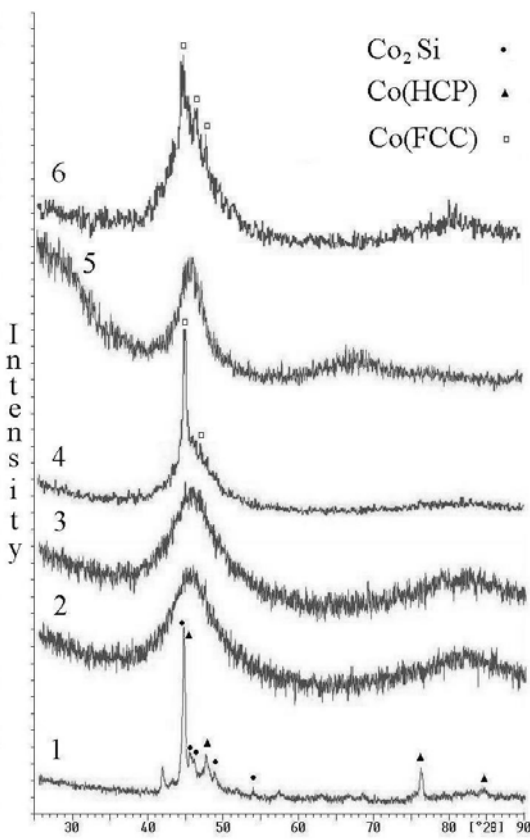
آلیاژ	انعطاف پذیری	کیفیت ظاهیری
$\text{Co}_{85}\text{Fe}_5\text{B}_{10}$	متوسط	متوسط
$\text{Co}_{79}\text{Fe}_5\text{B}_{16}$	خوب	- سطح متوسط - لبه‌ها تا حدودی دندانه‌دار
$\text{Co}_{73}\text{Fe}_5\text{B}_{22}$	خوب	- سطح متوسط - لبه تا حدودی دندانه‌دار
$\text{Co}_{80}\text{Fe}_5\text{Si}_{15}$	کاملاً ترد	- بسیار نامناسب - نوار پیوسته تولید نشد
$\text{Co}_{74}\text{Fe}_5\text{Si}_{21}$	کاملاً ترد	- سطح و لبه نامطلوب و دندانه‌دار - نوار تکه تکه
$\text{Co}_{75}\text{Fe}_5\text{Si}_{15}\text{B}_5$	کاملاً ترد	سطح و لبه نامطلوب
$\text{Co}_{75}\text{Fe}_5\text{Si}_{15}\text{B}_5$	متوسط	- سطح متوسط - لبه تا حدودی دندانه‌دار
$\text{Co}_{71}\text{Fe}_5\text{Si}_{15}\text{B}_9$	خیلی خوب	- سطح خوب - لبه متوسط - نوار یکپارچه
$\text{Co}_{67}\text{Fe}_5\text{Si}_{15}\text{B}_{13}$	بسیار خوب	- سطح و لبه خوب - یکپارچگی متوسط
$\text{Co}_{75}\text{Fe}_5\text{Si}_4\text{B}_{16}$	بسیار خوب	
$\text{Co}_{75}\text{Fe}_5\text{Si}_7\text{B}_{13}$	بسیار خوب	
$\text{Co}_{75}\text{Fe}_5\text{Si}_{11}\text{B}_9$	خوب	
$\text{Co}_{71}\text{Fe}_5\text{Si}_{11}\text{B}_{13}$	بسیار خوب	
$\text{Co}_{69}\text{Fe}_5\text{Si}_{15}\text{B}_{11}$	بسیار خوب	

۲-۳. ساختار نوارهای ذوب‌رسی شده

ساختار نوارهای ذوب‌رسی شده بطور خلاصه در جدول ۴ آورده شده است. به منظور بررسی تاثیر انجامداد سریع، ریزساختار حالت ریختگی این آلیاژها از مرجع [۱۱] استخراج شده و در این جدول جهت مقایسه ارایه شده است.

شکل ۵ الگوی پراش پرتو X نوارهای انجامداد سریع یافته آلیاژهای سه‌تایی CoFeSi را نشان می‌دهد، که بیانگر بلوری بودن ساختار آنها می‌باشد. با توجه به تردی فوق العاده تکه نوارهای خردشده آلیاژ  $\text{Co}_{80}\text{Fe}_5\text{Si}_{15}$  و نیز نتایج آزمایشات XRD بر روی نوارهای دو آلیاژ دیگر سری CoFeSi. به احتمال زیاد تکه نوارهای آلیاژ  $\text{Co}_{80}\text{Fe}_5\text{Si}_{15}$  نیز دارای ساختار بلوری می‌باشند.

همانطور که در شکل ۵ مشاهده می‌شود هر دو آلیاژ  $\text{Co}_{74}\text{Fe}_5\text{Si}_{21}$  و  $\text{Co}_{68}\text{Fe}_5\text{Si}_{27}$  پس از ذوب‌رسی دارای ساختار بلوری و شامل فازهای محلول جامد غنی از کیالت و  $\text{Co}_2\text{Si}$  هستند. بر طبق دیاگرام فازی Co-Si [۱۲] و نتایج بررسی ساختار شمشهای ریختگی ، آلیاژ  $\text{Co}_{74}\text{Fe}_5\text{Si}_{21}$  هیپریوتکتیک بوده و محلول جامد غنی از کیالت آن دارای شبکه بلوری HCP است [۱۱] و آلیاژ  $\text{Co}_{68}\text{Fe}_5\text{Si}_{27}$  هیپریوتکتیک می‌باشند. شبکه بلوری محلول جامد غنی از کیالت نوار  $\text{Co}_{74}\text{Fe}_5\text{Si}_{21}$  مشخص نشده است ولی با توجه



شکل ۷. الگوی پراش پرتو X نوارهای سریع منجمد شده آلیاژهای:

- 1-  $\text{Co}_{75}\text{Fe}_5\text{Si}_{15}\text{B}_5$ ,
- 2-  $\text{Co}_{71}\text{Fe}_5\text{Si}_{15}\text{B}_9$ ,
- 3-  $\text{Co}_{67}\text{Fe}_5\text{Si}_{15}\text{B}_{13}$ ,
- 4-  $\text{Co}_{75}\text{Fe}_5\text{Si}_{11}\text{B}_9$ ,
- 5-  $\text{Co}_{71}\text{Fe}_5\text{Si}_{11}\text{B}_{13}$ ,
- 6-  $\text{Co}_{75}\text{Fe}_5\text{Si}_7\text{B}_{13}$

محلول جامد غنی از کبالت، فاز غالب شناسایی شده در نوارهای سریع منجمد شده آلیاژهای چهارتایی می‌باشد و به نظر می‌رسد پس از انجامد این فاز، مذاب باقیمانده که ترکیبی نزدیک به یوتکتیک داشته به صورت آمورف منجمد شده است. شبکه بلوری این فاز بجز در آلیاژ  $\text{Co}_{75}\text{Fe}_5\text{Si}_{15}\text{B}_5$  که بصورت بلوری انجامد سریع یافته شبکه FCC است که نشان می‌دهد نرخ سرمایش بالا از تحول آلوتروپیک  $\text{Co}(\text{FCC}) \rightarrow \text{Co}(\text{HCP})$  ممانعت به عمل آورده است.

با مقایسه نتایج XRD نوارهای آلیاژهای CoFeSiB حاوی ۱۵ درصد اتمی Si می‌توان دریافت که کمترین مقدار بور لازم برای آمورف شدن کامل ساختار این آلیاژها تحت شرایط ذوب‌رسی انجام شده، مقداری بین ۵ و ۹ درصد اتمی است. بررسی مشابه در مورد آلیاژهای CoFeSiB که همگی دارای ۱۳ درصد اتمی بور هستند نشان می‌دهد حداقل مقدار Si لازم برای آمورف شدن کامل این گروه از آلیاژها تحت شرایط ذوب‌رسی انجام شده، بین ۷ و ۱۱ درصد اتمی است. اینومانا و همکارانش [۵] و رامانان [۱۴] نیز ترکیب‌های مشابهی را برای ایجاد ساختار آمورف طی فرآیند انجامد سریع در این سری از آلیاژها ذکر کردند. حداقل مقدار

ساختار نوار انجامد سریع یافته آلیاژ  $\text{Co}_{79}\text{Fe}_5\text{B}_{16}$  عمدتاً آمورف شده و مقدار بسیار کمی فاز محلول جامد غنی از کبالت Co(FCC) و ترکیب بین فلزی CoFe در آن تشکیل شده است. افزایش مقدار بور و نزدیک شدن به ترکیب یوتکتیک سبب افزایش قابلیت آمورف شدن این آلیاژ نسبت به آلیاژ  $\text{Co}_{85}\text{Fe}_5\text{B}_{10}$  شده است. فاز CoFe نیز در دیاگرام تعادلی وجود ندارد و تشکیل آن ناشی از شرایط غیر تعادلی انجامد سریع بوده است.

الگوی XRD نوار آلیاژ  $\text{Co}_{73}\text{Fe}_5\text{B}_{22}$  نیز نشان می‌دهد که بیشتر حجم این نوار آمورف شده و مقدار کمی فاز  $\text{Co}_3\text{B}$  تشکیل شده است. از آنجائیکه آلیاژ  $\text{Co}_{73}\text{Fe}_5\text{B}_{22}$  هیپریوتکتیک است فاز  $\text{Co}_3\text{B}$  که فاز اولیه به هنگام انجامد تعادلی آلیاژ فوق است فاز بلوری غالب می‌باشد. در حالیکه در آلیاژهای هیپریوتکتیک  $\text{Co}_{74}\text{Fe}_5\text{B}_{21}$  و

$\text{Co}_{85}\text{Fe}_5\text{B}_{10}$  فاز غالب بلوری محلول جامد غنی از کبالت است. بطور کلی می‌توان نتیجه گرفت که در ترکیب‌های غیریوتکتیکی آلیاژهای سه تایی CoFeSi و CoFeB و با سرعت سرد شدن معمول در فرآیند ذوب‌رسی  $10^5 - 10^6 \text{ C/s}$  عنصر Si یا B به تنهایی نمی‌توانند قابلیت آمورف شدن کامل به آلیاژهای پایه کبالت-آهن بدeneند. البته امکان آمورف شدن ساختار در اثر انجامد سریع در نزدیکی ترکیب یوتکتیک سری آلیاژی وجود دارد [۱۲ و ۱۳].

در الگوی پراش پرتو X نوار آلیاژهای چهارتایی CoFeSiB (شکل ۷) مشاهده می‌شود که بیشتر حجم نوار  $\text{Co}_{75}\text{Fe}_5\text{Si}_{15}\text{B}_5$  بلوری است و فازهای محلول جامد غنی از کبالت با شبکه HCP و  $\text{Co}_2\text{Si}$  در آن تشکیل شده‌اند. ولی ساختار نوار  $\text{Co}_{71}\text{Fe}_5\text{Si}_{15}\text{B}_9$  در اثر انجامد سریع کاملاً آمورف شده است.

افزایش مقدار بور و نزدیک شدن ترکیب به نقطه یوتکتیک سبب آمورف شدن کامل آلیاژ مذکور در عملیات ذوب‌رسی شده است. به همین دلیل نوار آلیاژ  $\text{Co}_{67}\text{Fe}_5\text{Si}_{15}\text{B}_{13}$  نیز به صورت کاملاً آمورف منجمد شده است.

در الگوی XRD نوار آلیاژ  $\text{Co}_{75}\text{Fe}_5\text{Si}_{11}\text{B}_9$  که تا حدودی آمورف شده است حداقل دو عدد از پیک‌های محلول جامد غنی از کبالت با شبکه FCC شناسایی شد. علت تشکیل فاز مذکور در ساختار انجامد سریع یافته آلیاژ فوق درصد کمتر Si آن نسبت به آلیاژ  $\text{Co}_{71}\text{Fe}_5\text{Si}_{15}\text{B}_9$  و فاصله ترکیبی بیشتر آن نسبت به نقطه یوتکتیک، می‌باشد. این در حالی است که نوار آلیاژ  $\text{Co}_{71}\text{Fe}_5\text{Si}_{11}\text{B}_{13}$  با ۴ درصد اتمی بیشتر بور کاملاً آمورف شده است.

الگوی XRD نوار آلیاژ  $\text{Co}_{75}\text{Fe}_5\text{Si}_7\text{B}_{13}$  نشان می‌دهد که این آلیاژ نیز عمدتاً آمورف شده ولی مقدار کمی محلول جامد غنی از کبالت با شبکه FCC در آن متبلور شده است. نوار ذوب‌رسی شده آلیاژهای  $\text{Co}_{69}\text{Fe}_5\text{Si}_{15}\text{B}_{11}$  و  $\text{Co}_{75}\text{Fe}_5\text{Si}_4\text{B}_{16}$  نیز کاملاً آمورف شده‌اند (الگوی XRD آنها ارائه نشده است).

#### جدول ۴. فازهای موجود در ساختار نواهای ذوب‌ریسی شده و شمش‌های ریختگی

ترکیب شیمیایی آلیاز	ریزساختار شمش ریختگی [۱۱]	آنالیز فازی شمش ریختگی [۱۱]	ساختار نوار ذوب‌ریسی شده
$\text{Co}_{85}\text{Fe}_5\text{B}_{10}$	هیپوبوتکتیک فاز دندربیتی $\text{Co}$ و مخلوط یوتکتیکی	$\text{Co}(\text{f.c.c.}), \text{Co}_x\text{B}$ $2 < x < 4$	بلوری شامل فازهای $\text{Co}(\text{f.c.c.}), \text{Co}_4\text{B}$
$\text{Co}_{79}\text{Fe}_5\text{B}_{16}$	هیپوبوتکتیک فاز دندربیتی کمتر و مخلوط یوتکتیکی بیشتر از $\text{Co}_{85}\text{Fe}_5\text{B}_{10}$	-----	عمدتاً آمورف حاوی فازهای $\text{Co}(\text{f.c.c.}), \text{CoFe}$
$\text{Co}_{73}\text{Fe}_5\text{B}_{22}$	هیپربوتکتیک فاز دندربیتی غنی از $\text{B}$ و مخلوط یوتکتیکی	$\text{Co}(\text{h.c.p.}), \text{Co}_2\text{B}, \text{Co}_3\text{B}$	عمدتاً آمورف حاوی فاز: $\text{Co}_3\text{B}$
$\text{Co}_{80}\text{Fe}_5\text{Si}_{15}$	هیپوبوتکتیک فاز دندربیتی $\text{Co}$ و مخلوط یوتکتیکی به مقدار کم	$\text{Co}(\text{h.c.p.})$	-----
$\text{Co}_{74}\text{Fe}_5\text{Si}_{21}$	هیپوبوتکتیک فاز دندربیتی کمتر و مخلوط یوتکتیکی بیشتر از $\text{Co}_{80}\text{Fe}_5\text{Si}_{15}$	-----	بلوری شامل فازهای $\text{Co}(\text{f.c.c.}), \text{Co}_2\text{Si}$
$\text{Co}_{68}\text{Fe}_5\text{Si}_{27}$	هیپربوتکتیک فاز دندربیتی غنی از $\text{Si}$ و مخلوط یوتکتیکی	-----	بلوری شامل فازهای: $\text{Co}(\text{f.c.c.}), \text{Co}_2\text{Si}$
$\text{Co}_{75}\text{Fe}_5\text{Si}_{15}\text{B}_5$	هیپوبوتکتیک فاز دندربیتی $\text{Co}$ و مقدار کمی مخلوط یوتکتیکی	$\text{Co}(\text{h.c.p.}), \text{Co}_2\text{Si}, \text{Co}_2\text{B}$	بلوری شامل فازهای: $\text{Co}(\text{h.c.p.}), \text{Co}_2\text{Si}$
$\text{Co}_{71}\text{Fe}_5\text{Si}_{15}\text{B}_9$	هیپوبوتکتیک فاز دندربیتی کمتر و مخلوط یوتکتیکی بیشتر از $\text{Co}_{75}\text{Fe}_5\text{Si}_{15}\text{B}_5$	$\text{Co}(\text{h.c.p.}), \text{Co}_2\text{Si}, \text{Co}_2\text{B}$	آمورف
$\text{Co}_{67}\text{Fe}_5\text{Si}_{15}\text{B}_{13}$	تقریباً یوتکتیک فاز دندربیتی تشکیل نشده است	$\text{Co}(\text{h.c.p.}), \text{Co}_2\text{Si}, \text{Co}_2\text{B}$	آمورف
$\text{Co}_{75}\text{Fe}_5\text{Si}_4\text{B}_{16}$	-----	-----	آمورف
$\text{Co}_{75}\text{Fe}_5\text{Si}_7\text{B}_{13}$	-----	-----	عمدتاً آمورف حاوی مقدار بسیار کمی فاز (
$\text{Co}_{75}\text{Fe}_5\text{Si}_{11}\text{B}_9$	-----	-----	عمدتاً آمورف حاوی مقدار کمی فاز)
$\text{Co}_{71}\text{Fe}_5\text{Si}_{11}\text{B}_{13}$	-----	-----	آمورف
$\text{Co}_{69}\text{Fe}_5\text{Si}_{15}\text{B}_{11}$	-----	-----	آمورف

و  $\text{Si}$  متغیر و نیز بر حسب تغییرات مجموع  $\text{Si}$  و  $\text{B}$  به ترتیب در اشکال ۱۰ الی ۱۲ ارائه شده است. همان‌طور که در هر سه سری نمودار مشخص است، با افزایش مقدار عنصر شبه‌فلزی  $\text{Si}$  و  $\text{B}$ ، نیروی وادارنده  $H_c$  همواره کاهش می‌یابد. علت این امر افزایش میزان آمورف شدن آلیاز و لذا کاهش ناهمسانگردی مغناطیسی-بلوری و عیوب ساختاری نظیر مرزدانه، مرز بین‌فازی، رسوبات و غیره می‌باشد.

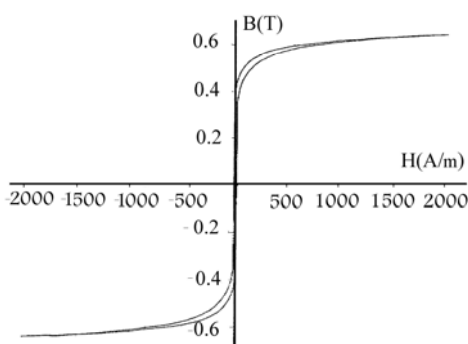
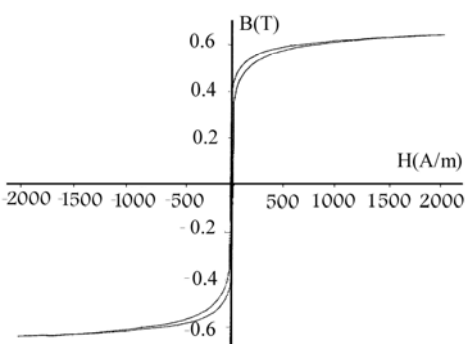
مقادیر پایین عنصر شبه‌فلزی و لذا بلوری بودن جزیی یا کامل ریزساختار نواهای ذوب ریسی شده علت اصلی بالا بودن میزان  $H_c$  و شبیه تند اولیه در هر سه نمودار مذکور می‌باشد. دلیل دیگر بالا بودن  $H_c$  می‌تواند تأثیر تغییر ترکیب شیمیایی و لذا عدم سازگاری بین مقدار عنصر شبه فلزی و نسبت  $\text{Co}/\text{Fe}$  بر  $\lambda$  باشد که به طور مستقیم روی  $H_c$  تأثیر می‌گذارد [۴].

مجموع عنصر شبه‌فلزی برای آمورف شدن کامل ریزساختار ۲۰ درصداتمی می‌باشد [۷].

مقایسه نتایج XRD نواهای ذوب‌ریسی شده چهار آلیاز  $\text{CoFeSiB}$  که در همگی آنها مجموع عنصر شبه فلزی  $\text{Si}$  و  $\text{B}$  یکسان و برابر با ۲۰ درصد اتمی است نشان می‌دهد که با افزایش نسبت  $\text{B}$  به  $\text{Si}$  میزان فاز آمورف تشکیل شده در ساختار نواهای انجامد سریع یافته در آلیازهای فوق افزایش می‌یابد.

### ۳-۳. خواص مغناطیسی نواهای ذوب ریسی شده

منحنی‌های پسماند مغناطیسی دو آلیاز  $\text{Co}_{73}\text{Fe}_5\text{B}_{22}$  و  $\text{Co}_{75}\text{Fe}_5\text{Si}_4\text{B}_{16}$  بطور نمونه در شکل‌های ۸ و ۹ و نتایج خواص مغناطیسی کلیه آلیازهای بطور خلاصه در جدول ۵ ارائه شده است. تغییرات خواص مغناطیسی  $\text{H}_c$ ،  $B_s$  و  $B_r$  بر حسب درصد عنصر شبه‌فلزی برای آلیازهای  $\text{CoFeSiB}$  با  $\text{Si}$  ثابت و  $\text{B}$  متغیر،  $\lambda$  ثابت

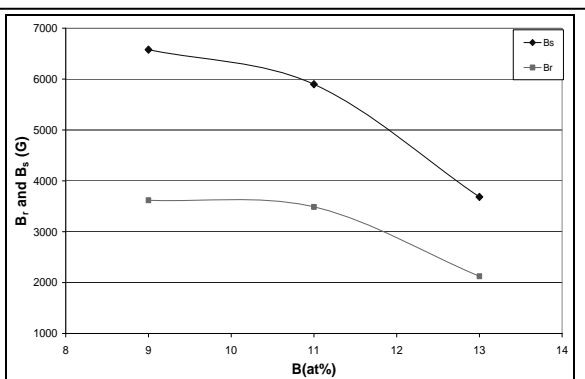
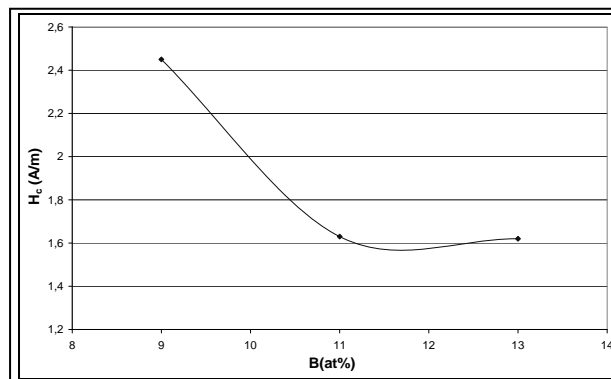
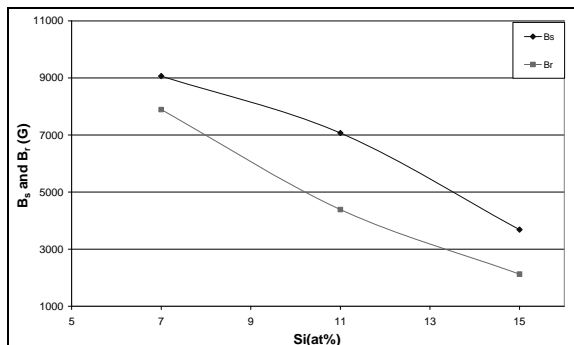
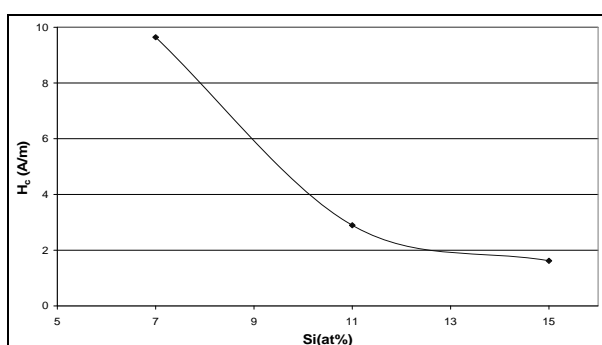
شکل ۹. حلقه پسماند مغناطیسی نوار آلیاژ  $\text{Co}_{75}\text{Fe}_5\text{Si}_4\text{B}_{16}$ شکل ۸. حلقه پسماند مغناطیسی نوار آلیاژ  $\text{Co}_{73}\text{Fe}_5\text{B}_{22}$ 

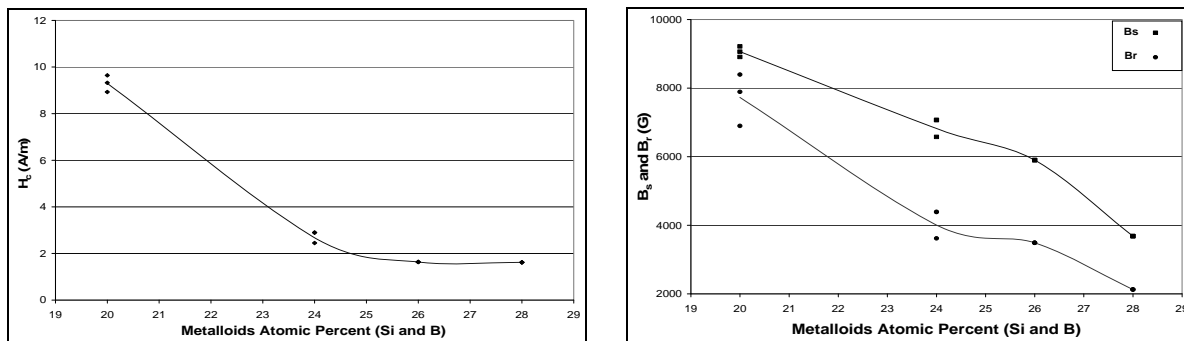
سه نمودار مذکور می‌باشد. دلیل دیگر بالا بودن  $H_c$  می‌تواند تأثیر تغییر ترکیب شیمیایی و لذا عدم سازگاری بین مقدار عناصر شبه فلزی و نسبت Co/Fe بر  $\lambda_s$  باشد که به طور مستقیم روی  $H_c$  تأثیر می‌گذارد [۴].

همان‌طور که نمودارهای مربوط به تغییرات  $B_s$  و  $B_r$  نشان می‌دهند، با افزایش Si، B و یا مقدار مجموع این عناصر، هم القای اشباع  $B_s$  و هم القای پسماند  $B_r$  به صورت تقریباً خطی کاهش می‌یابند. این کاهش به دلیل کاهش گشتاور مغناطیسی کل ماده در اثر کم شدن درصد اتمی عناصر فرومغناطیس (آهن و کبالت) می‌باشد. از آنجا که مغناطش (القای) اشباع رابطه خطی با مقدار عناصر فرومغناطیسی دارد، لذا این روند تغییرات نیز خطی است.

جدول ۵. خواص مغناطیسی نوارهای ذوب‌رسی شده

نسبت مربعی $B_r/B_s$	القای پسماند $B_r$ (G)	القای اشباع $B_s$ (G)	وادارندگی $H_c$ (Am <sup>-1</sup> )	خواص مغناطیسی نمونه
۰/۷۳۶	۶۲۶۸	۸۵۱۶	۱۸/۷۶	$\text{Co}_{79}\text{Fe}_{16}$
۰/۶۱۸۸	۳۹۸۹	۶۴۴۶	۱۱/۳۲	$\text{Co}_{73}\text{Fe}_{5}\text{B}_{22}$
۰/۵۵۰۲	۳۶۱۹	۶۵۷۸	۲/۴۵	$\text{Co}_{71}\text{Fe}_{5}\text{Si}_{15}\text{B}_9$
۰/۵۷۶۷	۲۱۲۵	۳۶۸۵	۱/۶۲۲	$\text{Co}_{67}\text{Fe}_{5}\text{Si}_{15}\text{B}_{13}$
۰/۸۷۰۵	۷۸۹۱	۹۰۶۵	۹/۶۴۱	$\text{Co}_{75}\text{Fe}_{5}\text{Si}_{13}\text{B}_{13}$
۰/۷۷۴۴	۶۸۹۸	۸۹۰۸	۹/۳۲۴	$\text{Co}_{75}\text{Fe}_{5}\text{Si}_{11}\text{B}_9$
۰/۵۹۱۵	۳۴۸۹	۵۸۹۹	۱/۶۳۴	$\text{Co}_{69}\text{Fe}_{5}\text{Si}_{15}\text{B}_{11}$
۰/۶۲۰۸	۴۳۸۹	۷۰۷۰	۲/۸۹۶	$\text{Co}_{71}\text{Fe}_{5}\text{Si}_{11}\text{B}_{13}$
۰/۹۱۱	۸۳۹۷	۹۲۱۷	۸/۹۲۸	$\text{Co}_{75}\text{Fe}_{5}\text{Si}_{4}\text{B}_{16}$

شکل ۱۰. منحنی تغییرات  $H_c$  و  $B_r$  بر حسب درصد اتمی بور در آلیاژهای  $\text{Co}_{80-x}\text{Fe}_5\text{Si}_{15}\text{B}_x$ شکل ۱۱. منحنی تغییرات  $H_c$  و  $B_r$  بر حسب درصد اتمی سیلیسیم در آلیاژهای  $\text{Co}_{77-x}\text{Fe}_5\text{Si}_x\text{B}_{13}$

شکل ۱۲. منحنی تغییرات  $H_c$ ,  $B_s$ ,  $B_r$  بر حسب مجموع درصد اتمی سیلیسیم و بور در آلیاژهای CoFeSiB

- ۲- در آلیاژهای چهارتایی CoFeSiB برای حصول ساختار کاملاً آمورف طی فرایند ذوب‌رسی باقیستی مجموع دو عنصر Si و B و نیز نسبت B/Si از یک حداقل مقداری بیشتر باشد.
- ۳- فرآیند انجام سریع مانع تحول آلوتروپیک  $\text{Co}(\text{fcc}) \rightarrow \text{Co}(\text{hcp})$  در آلیاژهای حاوی فاز بلوری Co می‌شود ضمن اینکه ممکن است باعث تشکیل فازهای غیر تعادلی دیگری هم بشود.
- ۴- عنصر B به دلیل اندازه اتمی کوچکتر از Si و اختلاف بیشتر با Co تاثیر بیشتری در آمورف کردن ساختار دارد و کمتر از Si سبب کاهش مغناطیش اشباع می‌شود.
- ۵- افزایش مقدار عنصر Si و B بدليل افزایش میزان آمورف شدن آلیاژ سبب کاهش  $H_c$  می‌شود.
- ۶- افزایش درصد اتمی عنصر شبهفلزی موجب کاهش مغناطیش اشباع و پسماند آلیاژهای CoFeSiB می‌شود.

## مراجع

- [1] Wen, M., Zhang, M., Wu, J., Li, L., Qi, H., Cao, S., Zhang, T., "Soft Magnetic Co-Fe-B-P and Co-Fe-V-B-P Amorphous Alloy Nano-Particles Prepared by Aqueous Chemical Reduction", Journal of Alloys and Compounds, No. 417, 2006, PP. 245-249.
- [2] O'handley, R.C., "Modern Magnetic Materials", John Wiley & Sons Inc., USA, 2000.
- [3] Herzer, G., "Amorphous and Nanocrystalline Soft Magnets", Nato ASI Series E:Applied Sciences, Vol. 338, 1996, PP. 710-730.
- [4] Kohmoto, O., Ohya, K., Yamaguchi, N., Fujishima, H., Ojima, T., "Magnetic Properties of Zero Magnetostrictive Amorphous Fe-Co-Si-B Alloys", Journal of Applied Physics, 50(7), 1979, PP. 5054-5056.
- [5] Inomata, K., Hasegawa, M., Haya, M., Sawa, T., "Amorphous Alloy for Magnetic Core Material", United States Patent No. 4,473,417, 1984.
- [6] Hilzinger, H.R., "Amorphous Low-Retentively Alloy", United States Patent, No. 5,200,002, 1993.

علاوه بر مقدار مجموع Si و B، نسبت این دو عنصر نیز در آمورف شدن ساختار و خواص مغناطیسی نوار ذوب‌رسی شده مؤثر است. در جدول ۶ تاثیر نسبت بور به سیلیسیم بر القای اشباع، القای پسماند و نیروی وادارندگی ۴ آلیاژ CoFeSiB که همگی دارای مقدار مجموع ۲۰ درصد اتمی Si و B ولی با نسبت‌های متفاوت می‌باشند آورده شده است. با افزایش نسبت بور به سیلیسیم و لذا افزایش میزان فاز آمورف در ساختار نوارهای ذوب‌رسی شده ناهمسانگردی مغناطیسی-بلوری و عوامل قفل کننده دیواره حوزه‌های مغناطیسی کاهش یافته و در نتیجه نیروی وادارندگی نیز کاهش می‌یابد. از طرف دیگر، از آنچاکه بور کمتر از سیلیسیم سبب کاهش مغناطیش اشباع می‌گردد [۱۵۱]، با افزایش نسبت B/Si در آلیاژهایی با مقدار مجموع عناصر شبهفلزی برابر، هم القای اشباع و هم القای پسماند افزایش می‌یابد. این مساله یکی به این دلیل است که کوچکتر بودن اتم B نسبت به Si سبب همسایه شدن این عنصر با تعداد اتم‌های کمتری از عناصر فرومغناطیس گشته و گشتاور مغناطیسی تعداد اتم‌های کمتری را کاهش می‌دهد و همچنین هیبریدشدن ضعیفتر لایه ظرفیت بور با اربیتال‌های d عناصر فرمومغناطیسی باعث می‌شود که تاثیر منفی کمتری روی مغناطیش آنها بگذارد [۱۵۲].

جدول ۶. تاثیر نسبت B/Si بر خواص مغناطیسی آلیاژهای ذوب‌رسی شده حاوی ۲۰ درصد اتمی مجموع Si و B

نام آلیاژ	نسبت B/Si	$H_c$ (A/m)	$B_s$ (G)	$B_r$ (G)
$\text{Co}_{75}\text{Fe}_5\text{Si}_{15}\text{B}_5$	۰/۳۳	-----	-----	-----
$\text{Co}_{75}\text{Fe}_5\text{Si}_{11}\text{B}_9$	۰/۸۲	۹/۳۲	۸۹۰.۸	۶۸۹۸
$\text{Co}_{75}\text{Fe}_5\text{Si}_7\text{B}_{13}$	۱/۸۶	۹/۶۴	۹۰.۶۵	۷۸۹۱
$\text{Co}_{75}\text{Fe}_5\text{Si}_4\text{B}_{16}$	۴	۸/۹	۹۲۱۷	۸۳۹۷

## ۴. نتیجه گیری

- در نوارهای ذوب‌رسی شده آلیاژهای غیر یوتکتیکی CoFeSi افزودن عناصر Si یا B به تنها یابعث تشکیل ساختار کاملاً آمورف نمی‌شود.

- [7] Sawa, T., Yagi, M., "Very Thin Soft Magnetic Alloy Strips and Magnetic Core and Electromagnetic Apparatus Made There From", United States Patent, No. 5,096,513, 1992, PP. 942-944.
- [8] Sawa, T., Hashimoto, S., Inomata, K., "High Permeability Amorphous Magnetic Materials", United States Patent No. 4,859,256, 1989.
- [9] Jakubovics, J.P., "Magnetism and Magnetic Materials", Institute of metals, London, 1987.
- [10] Cahn, R.W., Haasen, P., Kramer, E.J., "Material Science and Technology", Vol. 3B, VCH Publication, 1991.
- [11] Molla, J., Jazayeri, A., Rezayi, G.M.R., Pourabdoli, M., "Structural Characterization of CoFeSiB Magnetic Alloys", submitted to International Journal of Cast Metals Research, 1998.
- [12] ASM Handbook, "Alloy Phase Diagrams", ASM International, 10<sup>th</sup> ed., Vol. 3, 1997, PP. 761-781.
- [13] Kim, C.K., Lee, I.H., Chung, Y.C., O'handley, R.C., "Design of Amorphous Magnetic Materials for High Frequency Sensors Based Upon Perm Alloy Characteristics", Materials Science and Engineering B, Issue B97, 2000, PP. 211-216.
- [14] Ramanan, V.R.V., "Cobalt Rich Manganese Containing Near-zero Magnetostrictive Metallic Glasses Having High Saturation Induction", United States Patent, No. 4, 439, 253, 1984.
- [15] O'handley, R.C., Mendelson, L.I., Nesbitt, E.A., "New Non-Magnetostrictive Metallic Glass", IEEE Transactions on Magnetics, Vol. MAG-12, No. 6, 1976, PP. 942-944.